

TELETRANSPORTE PARCIAL DE ESTADOS EMARANHADOS SEM MEDIDA DOS ESTADOS DE BELL

CARDOSO, Wesley Bueno¹; de ALMEIDA, Norton Gomes²

¹Bolsista de mestrado (CAPES). Instituto de Física - Óptica Quântica,
wesleybcardoso@gmail.com

²Orientador / Núcleo de Pesquisas em Física/UCG, Instituto de Física/UFG,
nortongomes@ucg.br

Palavras chave: Teletransporte quântico, Estados de Bell, Cavidades QED

1 INTRODUÇÃO

Bennett *et al.* [1] foram os primeiros a mostrarem que o emaranhamento quântico podia ser usado para teletransportar um estado quântico. Emaranhamento é a chave elementar para as aplicações na informação e comunicação quântica [2]. O teletransporte de estados quânticos foi demonstrado primeiramente por Bouwmeester *et al.* [3].

Um esquema para um teletransporte parcial de estados emaranhados de zero- e um-fóton de ondas viajantes foi proposto por Lee *et al.* em [4]. Um fator determinante deste esquema é que ele requer apenas meios ópticos lineares e divisores de feixes. No esquema de Lee [4] foi usado a medida dos estados de Bell. Aqui nós mostramos um esquema para teletransportar um estado emaranhado com troca de parceiro. Este esquema com troca parcial de emaranhamento é realizado sem a medida explícita da base de Bell usando cavidades QED [5] (Figura 1). Nesta situação a cavidade A está previamente emaranhada com a cavidade B , no seguinte estado:

$$|\Psi\rangle_{AB} = C_0 |1\rangle_A |0\rangle_B + C_1 |0\rangle_A |1\rangle_B. \quad (1)$$

onde C_0 and C_1 são coeficientes desconhecidos. Nosso objetivo é teletransportar o estado de um dos modos de $|\Psi\rangle_{AB}$.

2 METODOLOGIA E DESENVOLVIMENTO

Supondo que a cavidade (C) está previamente preparada no estado de vácuo, e um átomo de Rydberg está previamente preparado no estado excitado $|e\rangle_1$, podemos escrever o estado do sistema todo ($|\Psi\rangle_{AB} \otimes |0\rangle_C \otimes |e\rangle_1$) como

$$|\varphi\rangle_{ABC1} = C_0 |1\rangle_A |0\rangle_B |0\rangle_C |e\rangle_1 + C_1 |0\rangle_A |1\rangle_B |0\rangle_C |e\rangle_1. \quad (2)$$

Nós primeiramente enviamos este átomo através da cavidade C . Na representação de interação, a interação átomo-cavidade é descrita pelo Hamiltoniano de Jaynes-Cummings

$$H_I = \lambda (a^\dagger S^- + a S^+),$$

em que a^\dagger e a são os operadores de criação e de aniquilação do campo na cavidade, S^+ e S^- são os operadores de levantamento e abaixamento para os níveis atômicos, λ é a constante de acoplamento entre o átomo e o campo. Após a interação com a cavidade C , o estado do sistema passa a ser descrito como

$$\begin{aligned} |\varphi\rangle_{ABC1} = & \frac{C_0}{\sqrt{2}} (|1\rangle_A |0\rangle_B |0\rangle_C |e\rangle_1 - i |1\rangle_A |0\rangle_B |1\rangle_C |g\rangle_1) \\ & + \frac{C_1}{\sqrt{2}} (|0\rangle_A |1\rangle_B |0\rangle_C |e\rangle_1 - i |0\rangle_A |1\rangle_B |1\rangle_C |g\rangle_1), \end{aligned} \quad (3)$$

¹Bolsista de mestrado (CAPES). Instituto de Física - Óptica Quântica, wesleybcardoso@gmail.com

²Orientador / Núcleo de Pesquisas em Física/UCG, Instituto de Física/UFG, nortongomes@ucg.br

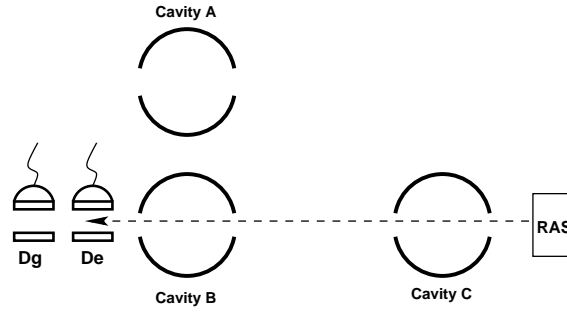


Figura 1: Esquema para o teletransporte parcial de estados emaranhados em cavidades QED. O aparato é constituído por uma fonte de átomos de Rydberg (RAS), três cavidades - QED e detectores seletivos de estados atômicos.

para um ajuste de $\lambda t = \pi/4$. Agora, este mesmo átomo interage com a cavidade B , levando o estado do sistema em

$$\begin{aligned}
 |\varphi\rangle_{ABC1} = & \frac{C_0}{\sqrt{2}} (\cos(\lambda t) |1\rangle_A |0\rangle_B |0\rangle_C |e\rangle_1 - i \sin(\lambda t) |1\rangle_A |1\rangle_B |0\rangle_C |g\rangle_1 - i |1\rangle_A |0\rangle_B |1\rangle_C |g\rangle_1) \\
 & + \frac{C_1}{\sqrt{2}} (\cos(\sqrt{2}\lambda t) |0\rangle_A |1\rangle_B |0\rangle_C |e\rangle_1 - i \sin(\sqrt{2}\lambda t) |0\rangle_A |2\rangle_B |0\rangle_C |g\rangle_1 \\
 & - i \cos(\lambda t) |0\rangle_A |1\rangle_B |1\rangle_C |g\rangle_1 - \sin(\lambda t) |0\rangle_A |0\rangle_B |1\rangle_C |e\rangle_1). \quad (4)
 \end{aligned}$$

Agora (considerando o ajuste $\lambda t = \pi/4$), podemos ter as seguintes possibilidades, dependendo da medida de Alice:

i) se Alice detecta o estado do átomo-campo em $|1\rangle_B |g\rangle_1$, ela deve informar a Bob, através de um canal clássico de informação, que ele possui exatamente o estado que ela queria teletransportar

$$|\Psi\rangle_{AC} = C_0 |1\rangle_A |0\rangle_C + C_1 |0\rangle_A |1\rangle_C; \quad (5)$$

ii) se Alice detecta o estado do átomo-campo em $|0\rangle_B |e\rangle_1$, ela deve informar o Bob que o estado emaranhado dos modos $A - C$ é

$$|\Psi\rangle_{AC} = C_0 |1\rangle_A |0\rangle_C - C_1 |0\rangle_A |1\rangle_C, \quad (6)$$

e necessita receber uma operação unitária para que Bob obtenha exatamente o estado teletransportado, dado pela Eq. (5). Deste modo temos o estado da cavidade B , que constituía parte do par emaranhado com a cavidade A , teletransportado para a cavidade C .

Algo similar pode ser realizado com o estado da cavidade A , teletransportando seu estado para outra cavidade. Este tipo de procedimento pode ser usado para processos de computação quântica, com um pequeno obstáculo relacionado com o tempo de vida dos estados quânticos dentro da cavidade. Mesmo assim, processos de computação quântica envolvendo cavidades-QED podem ser realizados em tempos inferiores ao tempo de decoerência das mesmas. Aqui, a fidelidade do estado teletransportado é de 100% com 50% de probabilidade de sucesso.

2.1 EMARANHADOS ATÔMICOS

Um outro esquema para o teletransporte parcial de estados atômicos, mostrado na figura 2, será também apresentado. Para este caso, consideraremos o estado inicial dado por

$$|\Psi\rangle_{12} = C_0 |g\rangle_1 |e\rangle_2 + C_1 |e\rangle_1 |g\rangle_2. \quad (7)$$

onde os índices 1 e 2 se referem aos átomos 1 e 2 previamente emaranhados (estado emaranhado de entrada "IES"), C_0 e C_1 são coeficientes desconhecidos. Podemos usar mais um átomo (representado pelo índice 3) e uma cavidade-QED. Primeiramente enviamos o átomo no estado excitado

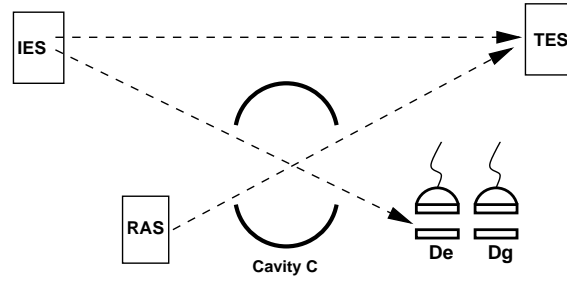


Figura 2: Esquema para teletransporte parcial de estados atômicos emaranhados. O aparato é constituído por uma fonte de átomos de Rydberg (RAS), um estado emaranhado entre dois átomos de Rydberg (IES), uma cavidade-QED (Cavity C), e detectores seletivos de estados atômicos. O “TES” é o estado teletransportado.

$|e\rangle_3$), através da cavidade-QED. Após a interação, podemos escrever o estado do sistema todo como

$$|\varphi\rangle_{123C} = \frac{C_0}{\sqrt{2}} (|g\rangle_1 |e\rangle_2 |e\rangle_3 |0\rangle_C - i |g\rangle_1 |e\rangle_2 |g\rangle_3 |1\rangle_C) + \frac{C_1}{\sqrt{2}} (|e\rangle_1 |g\rangle_2 |e\rangle_3 |0\rangle_C - i |e\rangle_1 |g\rangle_2 |g\rangle_3 |1\rangle_C), \quad (8)$$

para um ajuste de $\lambda t = \pi/4$, onde o índice C refere-se a cavidade-QED. Em seguida enviamos o átomo 1 para interagir com um modo do cavidade-QED. O sistema, após a interação do átomo 1 com o campo da cavidade, passa a ser representado por

$$|\varphi\rangle'_{123C} = \frac{C_0}{\sqrt{2}} (|g\rangle_1 |e\rangle_2 |e\rangle_3 |0\rangle_C - i \cos(\lambda t) |g\rangle_1 |e\rangle_2 |g\rangle_3 |1\rangle_C - \sin(\lambda t) |e\rangle_1 |e\rangle_2 |g\rangle_3 |0\rangle_C) + \frac{C_1}{\sqrt{2}} (\cos(\lambda t) |e\rangle_1 |g\rangle_2 |e\rangle_3 |0\rangle_C - i \sin(\lambda t) |g\rangle_1 |g\rangle_2 |e\rangle_3 |1\rangle_C - i \cos(\sqrt{2}\lambda t) |e\rangle_1 |g\rangle_2 |g\rangle_3 |1\rangle_C - \sin(\sqrt{2}\lambda t) |g\rangle_1 |g\rangle_2 |g\rangle_3 |2\rangle_C). \quad (9)$$

Agora (considerando o ajuste $\lambda t = \pi/4$), podemos ter as seguintes possibilidades, dependendo da medida de Alice:

i) se Alice detecta o estado átomo-campo em $|g\rangle_1 |1\rangle_C$, ela deve informar a Bob, através de um canal clássico de informação, que ele possui exatamente o estado que ela queria teletransportar

$$|\Psi\rangle_{12} = C_0 |g\rangle_3 |e\rangle_2 + C_1 |e\rangle_3 |g\rangle_2; \quad (10)$$

ii) se Alice detecta o estado átomo-campo em $|e\rangle_1 |0\rangle_C$, ela deve informar o Bob que o estado emaranhado dos modos $A - C$ é

$$|\Psi\rangle_{12} = C_0 |g\rangle_3 |e\rangle_2 - C_1 |e\rangle_3 |g\rangle_2, \quad (11)$$

e necessita receber uma operação unitária para que Bob obtenha exatamente o estado teletransportado, dado pela Eq. (10). Aqui o átomo 3 toma o lugar do átomo 1 do par emaranhado.

3 RESULTADOS E DISCUSSÃO

Podemos ainda usar outro esquema, mostrado na figura 3, para teletransportar um estado emaranhado desconhecido entre uma cavidade e um átomo (Cavidade A - átomo 1), de forma que o estado seja parcialmente teletransportado mudando o par (Cavidade A para Cavidade B). O formalismo matemático é similar aos dos esquemas mostrados acima.

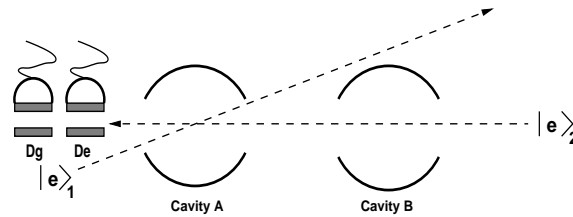


Figura 3: Esquema para o teletransporte parcial de um estado emaranhado entre uma cavidade e um átomo. O aparato é constituído por duas fontes de átomos de Rydberg, duas cavidades-QED (Cavity A and B), e detectores seletivos de estados atômicos.

Para os átomos de Rydberg com número quântico principal 50 e 51, o tempo de decoerência é $Tr = 3 \times 10^{-2}s$, e a constante de acoplamento é $g = 2\pi \times 25kHz$ [6]. Então, o tempo de interação do átomo 1, para o primeiro esquema, com o campo na cavidade é $\pi/(4g) = 0.5 \times 10^{-5}s$. Logo o tempo de viagem desse átomo pode ser assumido como sendo $0.5 \times 10^{-4}s$. Entretanto, o tempo requerido para completar todo o procedimento é cerca de $10^{-4}s$, bem menor que Tr . O tempo de decaimento da cavidade é $Tc \approx 10^{-3}s$, distante do tempo requerido para realização do nosso procedimento. O experimento da Ref. [6] envolve dois átomos interagindo sequencialmente com dois modos da cavidade.

4 Conclusão

Em resumo, mostramos três esquemas para teletransportar parcialmente um estado emaranhado com fidelidade de 100% e probabilidade de sucesso de 50%. A idéia apresentada aqui também pode ser utilizada para teletransportar parcialmente um estado desconhecido de um emaranhado de íons em armadilhas lineares. Concluindo, baseando-se nas presentes técnicas para cavidades-QED nosso esquema pode ser realizado experimentalmente.

Agradecimentos

Nós agradecemos a VPG e CNPq (NGA), e a CAPES (WBC).

Referências

- [1] C. H. Bennett, G. Brassard, C. Crepeau, R. Jozsa, A. Peres, and W. K. Wootters, *Phys. Rev. Lett.* **70**, 1895 (1993).
- [2] M. A. Nielsen and I. L. Chuang, *Quantum Computation and Quantum Information* (Cambridge University Press, Cambridge, England, 2000).
- [3] D. Bouwmeester et al., *Nature (London)* **390**, 575 (1997); D. Bochi et al., *Phys. Rev. Lett.* **80**, 1121 (1998); A. Fuurusawa et al., *Science* **282**, 706 (1998); M. A. Nielsen et al., *Nature (London)* **396**, 52 (1998); Y.-H. Kim et al., *Phys. Rev. Lett.* **86**, 1370 (2001); M. Riebe et al., *Nature (London)* **429**, 734 (2004); M. D. Barrett et al., *Nature (London)* **429**, 737 (2004).
- [4] H-W. Lee and J. Kim, *Phys. Rev. A* **63**, 012305 (2000).
- [5] Shi-Biao Zheng, *Phys. Rev. A* **69**, 064302 (2004).
- [6] A. Rauschenbeutel, P. Bertet, S. Osnaghi, G. Nogues, M. Brune, J. M. Raimond, and S. Haroche, *Phys. Rev. A* **64**, 050301 (2001).